

بررسی ابعاد پدیکول و کانال نخاعی مهره‌های لومبر در منطقه شمال‌غرب ایران

تاریخ دریافت مقاله: ۱۳۸۸/۰۹/۲۵ تاریخ پذیرش: ۱۳۸۸/۱۱/۱۶

چکیده

زمینه و هدف: در حال حاضر استاندارد طلایی برای فیکساسیون داخلی ستون فقرات استفاده از پیچ پدیکول می‌باشد. استفاده از پیچ پدیکول ممکن است همراه با عوارض بوده و اطلاع از مورفومنتری پدیکول و آناتومی ساختمان‌های عصبی مجاور به کاهش خطرات و عوارض عمل جراحی کمک خواهد نمود. با توجه به اینکه طبق اطلاع ما تاکنون در خصوص ابعاد پدیکول در مناطق مختلف ایران بررسی صورت نگرفته است، اقدام به مطالعه حاضر گردید. روش بررسی: این بررسی در بیمارانی انجام شد که به علل مختلف تحت انجام سی‌تی اسکن ستون فقرات کمری قرار گرفته بودند. تعداد ۲۵ مهره سالم در افراد بالای ۱۸ سال در جنس مذکور و به همین تعداد در جنس مونث جهت مطالعه انتخاب شدند و اندازه‌گیری با استفاده از برنامه کامپیوترا E-Film بر روی ابعاد مختلف مهره انجام شد و در مقایسه با سایر مطالعات $p < 0.05$ به عنوان معنی دار در نظر گرفته شد. **یافته‌ها:** عرض پدیکول در ناحیه لومبر پهن‌ترین پدیکول در مهره L5 با متوسط 16.08 میلی‌متر و تنگ‌ترین پدیکول در مهره L1 با متوسط 8.25 میلی‌متر بود. متوسط آن برای مهره‌های L2 و L3 و L4 و L5 به ترتیب 8.82 میلی‌متر و 10.48 میلی‌متر بود. از ابعاد مهم دیگر عمق طولی پدیکول یا طول مسیر پیچ پدیکول می‌باشد، این ابعاد در مهره‌های L1، L2، L3، L4 و L5 به ترتیب 4.24 میلی‌متر ، 4.68 میلی‌متر ، 4.79 میلی‌متر و 4.82 میلی‌متر بود. تعدادی از ابعاد اندازه‌گیری شده در این مطالعه، در مقایسه با بررسی‌های گزارش شده تفاوت‌هایی را نشان داد که از نظر آماری قابل توجه بود. **نتیجه‌گیری:** اندازه و شکل پدیکول در نژادهای مختلف متفاوت بوده و در بررسی ما نیز تفاوت‌های قابل توجه در برخی از ابعاد مهره مشاهده گردید.

کلمات کلیدی: پدیکول لومبر، ابعاد، سی‌تی اسکن.

ایرج اطفی نیا^{۱*}

مصطفی قوامی^۲

کاوه حدادی^۱

پیمان واحدی^۱

۱- گروه جراحی مغز و اعصاب

۲- گروه رادیولوژی

دانشگاه علوم پزشکی تبریز

*تویینده مسئول، تبریز جاده اتل گلی، به طف گل شهر،
پیمارستان شهدا، بخش ۶. تلفن: ۰۹۱۴۱۱۴۵۷۳۸
email: lotfiniai@yahoo.com

مقدمه

احتمال نشت مایع مغزی-نخاعی، آسیب عصب، عفونت عمقي زخم،^۱ شکستگی تاختیری مهره،^۲ دُزِنراسیون سگمان مجاور^۳ و شکستگی وسیله^۴ در این بیماران به خوبی شرح داده شده است. دانستن اطلاعات آناتومیک صحیح برای دخالت بی خطر در ناحیه لومبر ضروری بوده^۵ و اطلاع از مورفومنتری پدیکول و آناتومی ساختمان‌های عصبی مجاور به کاهش خطرات و عوارض عمل جراحی کمک خواهد نمود.^{۶-۱۴} این بررسی‌ها همچنین اطلاعات لازم را در اختیار طراحان وسائل ستون فقرات قرار می‌دهند.^{۱۵-۱۷} طبق بررسی‌های انجام شده قطر متوسط کانال نخاعی، جسم مهره، شکل و اندازه پدیکول در ناحیه لومبر در نژادهای مختلف متفاوت است^{۱۶-۱۸} و از یک جمعیت به جمعیت دیگر نیز ممکن است فرق بکند.^{۱۹}

از فیکساسیون ترانس پدیکولر (Transpedicular fixation) برای درمان بی‌ثباتی‌های ستون فقرات لومبر ناشی از ترومما، تومور، عفونت و ضایعات دُزِنراتیو استفاده می‌شود^۱ و در حال حاضر استاندارد طلایی برای فیکساسیون داخلی ستون فقرات استفاده از پیچ پدیکول می‌باشد.^۲ این روش به دلیل مزیت‌های آن مورد قبول عموم قرار گرفته است^۱ و شایع‌ترین اقدام جراحی در درمان بی‌ثباتی‌های دُزِنراتیو و تروماتیک ستون فقرات بوده^{۲۰} و به صورت گسترش در درمان اسکلیوز و تومورهای ستون فقرات به کار برده می‌شود.^{۲۱} اگرچه میزان آرتروز با استفاده از این وسیله افزایش می‌یابد، ولی استفاده از این روش موجب افزایش عوارض نیز خواهد شد.^۷ افزایش

کورتکس قدامی اندازه‌گیری شد این اندازه‌گیری یا در طول خوابیده‌ترین بخش کورتکس خلفی (Flattest portion) از لامینا به کورتکس قدامی (در روی خط Transverse pedicle angle) که در شکل با خط (E) نشان داده شده و یا در خط موازی با خط وسط جسم مهره (AP) که در شکل با خط (D) نشان داده شده اندازه‌گیری شد. عمق کورتکس قدامی در طول محور طولی پدیکول (E) را بنام طول مسیر پیچ پدیکول (Chord length) یا Transverse length (نیز نامیده می‌شود. زاویه عرضی پدیکول (pedicle angle) با اندازه‌گیری زاویه بین خط وسط مهره (AP midline axis) و محور طولی پدیکول (Pedicle longitudinal axis) به دست آمد. علاوه بر معیارهای فوق که در سایر مطالعات مورد بررسی قرار گرفته است، ما سه معیار دیگر را هم کنکاش قرار دادیم: الف- قطر طولی کanal نخاعی (یا طول کanal) که خط رسم شده در بلندترین ناحیه طولی کanal نخاع بوده که به صورت بهترین برآورد بینایی ترسیم شده در میدلاین کanal نخاعی در محاذات محور طولی پدیکول بود (G). ب- قطر عرضی کanal نخاعی که خط رسم شده در محاذات پهن‌ترین ناحیه عرضی کanal نخاع و موازی محور زمینه‌ایی عرضی مهره بود (H) که خطوط G و H عمود بر هم بودند. ج- فاصله بین محور طولی جسم مهره در خط وسط (A) و نقطه شروع خط مسیر پیچ (Chord length) در کورتکس خلفی که در حقیقت نقطه ورودی پیچ پدیکول می‌باشد که این فاصله در شکل با خط K نشان داده شده است. تمامی اندازه‌گیری‌ها در دو زمان مجزا و توسط یک فرد غیر آگاه از نتایج قبلی انجام شده و اندازه‌گیری‌ها برای هر معیار دو بار تکرار شده و مقدار متوسط به عنوان نتیجه‌نهایی ثبت شد. علت انجام اندازه‌گیری توسط یک نفر جلوگیری از خطای بین افراد (Inter observer error) بود. اطلاعات به دست آمده با استفاده از آزمون t test ویراست ۱۶ استفاده و مقادیر $p < 0.05$ معنی دار می‌باشد.

یافته‌ها

اندازه عرض پدیکول در ناحیه ایستموس (Transverse pedicle isthmus width) یا خط C در ناحیه لومبر پهن‌ترین پدیکول در مهره

همچنین اغلب مطالعات انجام شده مربوط به نژاد سفید^{۲۰} و غربی^{۲۱} بوده و گزارشات اندکی در بیماران آسیایی وجود دارد^{۲۰} و طبق اطلاع ما تاکنون بررسی در این خصوص در منطقه ما انجام نشده است. هدف از بررسی حاضر تعیین ابعاد پدیکول مهره‌های کمری در ناحیه آذربایجان شرقی و مقایسه نتایج با تعدادی از گزارشات قبلی می‌باشد.

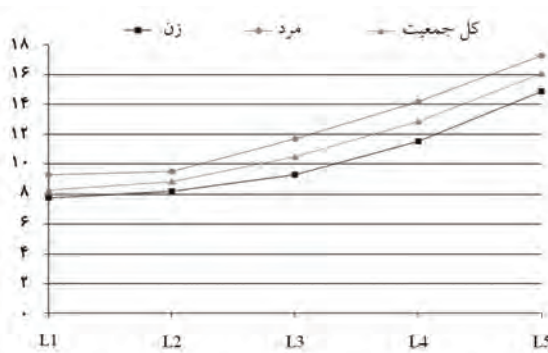
روش بررسی

این مطالعه در بیمارستان شهردا تبریز از شهریور ماه ۱۳۸۵ لغاًیت اسفند ماه ۱۳۸۷ انجام شد. این بررسی توصیفی- تحلیلی در بیمارانی انجام شد که به علل مختلف مانند ترومما، کمردرد، تومور، عفونت و لیستزیس و لیزیس تحت انجام CT-Scan لومبر قرار گرفته بودند. جهت مطالعه بیماران بالغ انتخاب شدند و بیماران زیر ۱۸ سال حذف General electric single CT-Scan با استفاده از دستگاه (fx1- USA) انجام شد و در اسکن انجام شده مهره‌هایی که سالم بودند جهت بررسی انتخاب گردید. مهره‌های دچار آنومالی مانند همسی ورتبرا، آرتروز شدید، شکستگی، تغییر دانسیته شدید، تومور، عفونت و لیستزیس و لیزیس حذف گردیدند و بدین ترتیب از هر مهره لومبر ۲۵ مورد در جنس مونث و ۲۵ مورد در جنس مذکور جهت بررسی انتخاب شد. با توجه به اینکه هیچ یک از بیماران صرفاً برای انجام این مطالعه اسکن نشده و مهره‌های سالم از بررسی انجام شده انتخاب گردید، از نظر اخلاقی نیاز به اخذ رضایت بیماران نبود. قد بیماران (بر حسب سانتی‌متر) و وزن آن‌ها (بر حسب کیلوگرم) مشخص و با توجه به آنها BMI یا (Body mass index) محاسبه و ثبت شد. سن و جنس بیماران نیز جزء معیارهای ثبت شده بود. از برنامه کامپیوتری E-Film Lite Tm software (E-Film Lite Tm software) بر قسمت میانی زائد خاری مهره رسم شده (A) و خود عمود بر خطی بود که به صورت عرضی دو زائد عرضی را بهم وصل می‌کرد (B). محور طولی پدیکول Pedicle longitudinal axis از قسمت میانی پدیکول با بهترین برآورد بینایی (Visual best fit) رسم شد. در تنگ‌ترین پهناهی پدیکول (Width)، یک خط عمود به محور طولی رسم شد (Outer cortex to outer cortex measurement) و به عنوان عرض ایستموس پدیکول (Transverse pedicle isthmus) اندازه گیری شد (C). بهمین ترتیب فاصله از لامینا تا

محور موازی با محور پدیکول در مهره L5 دیده شد که متوسط آن ۴۷/۸ میلی‌متر (بین ۳۵-۵۷ میلی‌متر) و بلندترین فاصله در L3 با متوسط ۵۰/۴۲ میلی‌متر (بین ۴۲-۵۹ میلی‌متر) بود. قطر قدامی-خلفی آن Antero-Posterior (AP) diameter of spinal canal (خط G: بلندترین قطر AP کانال در مهره L1 با یک متوسط ۱۵/۵۴ میلی‌متر (بین ۱۲-۱۹ میلی‌متر) و کوتاه‌ترین قطر در L5 با متوسط ۱۳/۵۶ میلی‌متر (بین ۸-۲۳ میلی‌متر) دیده شد.

Distance between pedicle centre to canal centre (فاصله بین مرکز پدیکول تا مرکز کانال) پیشترین فاصله بین مرکز پدیکول تا مرکز کانال در L5 با متوسط ۲۵/۲۸ میلی‌متر (بین ۱۷-۳۴ میلی‌متر) و کمترین فاصله در L1 با متوسط ۱۷/۶۲ میلی‌متر (بین ۱۵-۲۳ میلی‌متر) دیده شد. در مردان، بزرگترین فاصله در L5 (متوسط ۱۸/۵۲ میلی‌متر) و کوچک‌ترین فاصله در L1 (متوسط ۱۴/۸۸ میلی‌متر) و در زنان بزرگترین فاصله در L5 (متوسط ۲۵/۶۸ میلی‌متر) و کوچک‌ترین فاصله در L1 (متوسط ۱۶/۷۲ میلی‌متر) دیده شد. متوسط اندازه K از L1 تا L5 به صورت بارزی افزایش دارد (۱۷/۶۲ در L1 و ۲۵/۲۸ در L5).

نقش سن بر روی اندازه ابعاد مهره‌های لومبر: در تعیین نقش سن روی ابعاد مهره‌های کمری، اندازه‌ها به ترتیب در زنان و مردان بالا و زیر ۳۵ سال با هم مقایسه شدند. در جمعیت مردان مورد مطالعه، با وجود اختلاف معنی‌دار در برخی ابعاد مهره مانند D در مهره L1 و G در مهره L3 و E و H در مهره L4 (به ترتیب با $p=0.034$ و $p=0.045$ و $p=0.044$) که در مردان بالای ۳۵ سال بزرگ‌تر بود، ولی



نمودار-۱: ابعاد عرض پدیکول در زنان و مردان و جمعیت کل مطالعه

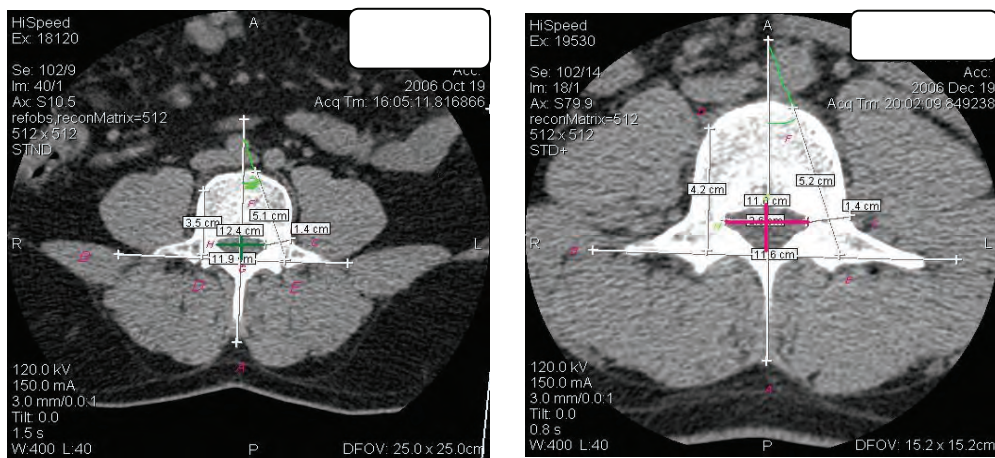
L5 با متوسط ۱۶/۰۸ میلی‌متر (بین ۱۱-۲۵ میلی‌متر) و تنگ‌ترین پدیکول در مهره L1 با متوسط ۸/۲۵ میلی‌متر (بین ۵-۱۲ میلی‌متر) بود. متوسط آن برای مهره‌های L2 و L3 و L4 به ترتیب ۱۰/۴۸، ۸/۸۲ و ۷-۸ میلی‌متر بود. درصد مهره‌های با عرض کمتر از ۷-۸ میلی‌متر: عرض پدیکول کمتر از هفت میلی‌متر، به طور شایع در مهره L1 (۱۰٪) بود و به دنبال آن L2 (۴٪) و L3 (۲٪) و L4 (۰٪) قرار داشتند. بیشترین درصد مهره‌های با قطر کمتر از هشت میلی‌متر، در L1 (۳۶٪) بود که آنان را زنان تشکیل می‌داد. پس از آن L2 (۲۴٪) بود که آن را زنان تشکیل می‌داد. شیوع این رقم در مهره L3 (۱۰٪) بود که آن را زنان تشکیل می‌داد. هیچ یک از مهره‌های L4 و یا L5 قطر عرضی پدیکول کمتر از هشت میلی‌متر نداشتند. در مردان مورد مطالعه، بزرگترین قطر عرضی پدیکول در L5 با متوسط ۹/۲۸ میلی‌متر و کوچکترین در L1 با متوسط ۱۷/۲۸ میلی‌متر و کوچک‌ترین در زنان نیز بزرگترین قطر عرضی پدیکول را L5 با متوسط ۱۴/۸۸ میلی‌متر و کوچک‌ترین قطر عرضی را L1 با متوسط ۷/۷۶ میلی‌متر داشتند. در یک نگاه مشخص می‌شود اندازه قطر پدیکول (C) با نزول سطح مهره از L1 تا L5 افزایش واضح دارد (۸/۲۵ در L1 و ۱۶/۰۸ در L5). زاویه عرضی پدیکول (Transverse pedicle angle) بزرگترین زاویه از خط وسط در L5 با متوسط ۲۴/۱۲ درجه (بین ۱۳-۳۲ درجه) و کمترین زاویه در L1 با متوسط ۱۶/۳ درجه (بین ۱۰-۲۴ درجه) دیده شد. فاصله عمق تا کورتکس قدامی (Screw path length) یا Chord length:

الف- فاصله عمق تا کورتکس قدامی در محور موازی با محور خط وسط مهره (Parallel to midline axis of vertebral body): کوتاه‌ترین فاصله تا کورتکس قدامی در L5 با متوسط ۳۴/۸۶ میلی‌متر (۲۴-۴۸) و بلندترین فاصله در L2 با متوسط ۳۹/۷۴ میلی‌متر (۲۹-۵۲) دیده شد. در مردان بلندترین فاصله تا کورتکس قدامی در L2 با متوسط ۴۱/۴۴mm و کوتاه‌ترین فاصله در L5 با متوسط ۳۶/۴ میلی‌متر مشاهده شد. در زنان، بلندترین فاصله تا کورتکس قدامی در L5 با متوسط ۳۸/۱۲ میلی‌متر و کوتاه‌ترین فاصله در L5 با متوسط ۳۳/۳۲mm بود. متوسط این فاصله از L1 تا L5 به طور واضح کاهش دارد، به صورتی که در L1 ۳۸/۴ و در L5 ۳۴/۸۶mm اندازه‌گیری شد.

ب- فاصله تا کورتکس قدامی از طریق پدیکول (Through pedicle axis) خط E شکل: کوتاه‌ترین فاصله تا کورتکس قدامی در

مردان بزرگتر از زنان بود. در مهره L₂ اندازه C ($p=0.0001$), D ($p=0.008$), E ($p=0.011$) و K ($p=0.0002$), به صورت معنی داری در مردان بزرگتر از زنان بود. در مهره L₃ اندازه C ($p=0.0001$), D ($p=0.006$) و K ($p=0.009$), به صورت معنی داری در مردان بزرگتر از زنان بود. در مهره L₄ اندازه C ($p<0.0001$), E ($p=0.015$) و K ($p=0.049$) و G ($p=0.037$) به صورت معنی داری در مردان بزرگتر از زنان بود. در مهره L₅ اندازه C ($p=0.011$), D ($p=0.024$) و E ($p=0.002$) به صورت معنی داری در مردان بزرگتر از زنان بود. در توجه به نتایج فوق بمنظر می رسد که ابعاد مهره های لومبر در کل در مردان بزرگتر از زنان می باشد. ولی هیچ تفاوت معنی داری در اندازه زاویه پدیکول (F) و اندازه عرض کانال نخاع (H) در بین دو جنس و در هیچ کدام از مهره های لومبر پیدا نشد.

در کل تفاوت بارزی بین ابعاد مهره ایی در سنین بالا و پایین ۳۵ مشاهده نگردید. در زنان نتایج کمی متفاوت تر بود، در مهره L₅ اندازه D و E با H با $p=0.0074$ و $p=0.0001$ در زنان بالای ۳۵ سال به صورت معنی داری بزرگتر از زنان زیر ۳۵ سال بود. در مهره L₂ اندازه E و H در زنان بالای ۳۵ سال بزرگتر از زیر ۳۵ سال بود ($p=0.001$ و $p=0.022$). در مهره L₃ نیز اندازه C به صورت معنی داری در زنان بالای ۳۵ سال بزرگتر از زنان زیر ۳۵ سال بود ($p=0.012$). با توجه به یافته های فوق به نظر می رسد در سنین بالاتر ابعاد مهره های کمری کمی بزرگتر باشد. اثر جنس بر ابعاد مهره های لومبر: ابعاد مهره های کمری به طور بارزی در مهره های مختلف در مردان بزرگتر از زنان بود. در مهره L₁ اندازه C ($p=0.0007$), D ($p=0.0002$), E ($p=0.0002$) و K ($p=0.0002$), به صورت معنی داری در



شکل - ۱: روش ترسیم خطوط جهت اندازه گیری

جدول - ۱: نتایج اندازه گیری ابعاد مهره های لومبر در مردان (میلی متر)

C Mean±SD	D Mean±SD	E Mean±SD	F Mean±SD	G Mean±SD	H Mean±SD	K Mean±SD	تعداد	سطح مهره
۹/۲۸±۱/۰۱	۴۰/۵۶±۳/۸۸	۴۹/۸۸±۳/۳۶	۱۶/۷۶±۳/۶۹	۱۵/۵۲±۱/۸۱	۲۰/۷۶±۱/۸۶	۱۸/۵۱±۲/۲۳	۲۵	L ₁
۹/۴۸±۱/۹۲	۴۱/۴۴±۶/۰۲	۵۰/۶۸±۴/۶۳	۱۷/۰۴±۲/۸۲	۱۴/۱۶±۲/۱۷	۲۱/۲۴±۱/۲۷	۱۹/۴±۱/۴۷	۲۵	L _۲
۱۱/۶۸±۲/۵۴	۳۹/۴±۵/۳۸	۵۱/۸±۴/۰۸	۲۰/۲۴±۳/۲۴	۱۴/۳۶±۲/۷۱	۲۱/۸۸±۲/۹۷	۲۰/۴۸±۲/۰۲	۲۵	L _۳
۱۴/۷±۱/۰۹	۳۸/۹۷±۳/۵۳	۵۰/۰۸±۴/۰۳	۲۰/۸±۲/۸۶	۱۲/۳۲±۲/۱۳	۲۲/۸۸±۴/۰۷	۲۱/۸۴±۳/۲۱	۲۵	L _۴
۱۷/۲۸±۲/۹۲	۳۶/۴±۵/۶	۵۰/۲±۴/۳۳	۲۳/۶۸±۵/۰۷	۱۳/۳۶±۳/۴۲	۵۵/۳۲±۳/۵۴	۲۴/۸۸±۲/۷۶	۲۵	L _۵

C: عرض پدیکول در ناحیه ایستموس، D: فاصله عمق تا کورتکس قدامی در محور موازی با محور خط وسط مهره، E: فاصله تا کورتکس قدامی از طریق پدیکول، F: زاویه عرضی پدیکول، G: قطر قدامی - خلفی کانال نخاعی، H: قطر عرضی کانال نخاعی، K: فاصله بین مرکز پدیکول تا مرکز کانال

جدول-۲: نتایج اندازه‌گیری ابعاد مهره‌های لومبر در زنان (میلی‌متر)

C Mean±SD	D Mean±SD	E Mean±SD	F Mean±SD	G Mean±SD	H Mean±SD	K Mean±SD	تعداد	سطح مهره
۷/۷۶±۱/۷۲	۳۶/۲۲±۳/۵۹	۴۵/۰۸±۳/۹۲	۱۵/۸۸±۳/۷۹	۱۵/۵۶±۱/۶۷	۲۰/۱۲±۲/۰۲	۱۶/۷۲±۲/۰۷	۲۵	L۱
۸/۱۶±۱/۱۲	۳۸/۰۴±۳/۸۸	۴۶/۶۸±۳/۲۵	۱۶/۳۶±۲/۴۵	۱۵/۰۴±۱/۴۸	۲۰/۰۲±۱/۹۸	۱۷/۳۲±۱/۸۷	۲۵	L۲
۹/۲۸±۲/۰۸	۳۸/۱۲±۴/۳۹	۴۹/۰۴±۴/۲۵	۱۹/۶۵±۲/۹۰	۱۳/۹۲±۱/۳۸	۲۰/۷۶±۲/۷۹	۱۹/۰۸±۱/۹۵	۲۵	L۳
۱۱/۵۲±۲/۰۳	۳۷/۲۲±۵/۰۰	۴۶/۵۶±۴/۴۱	۲۰/۹۲±۴/۲۶	۱۳/۷۲±۱/۸۲	۲۲/۲۴±۳/۵۲	۲۰/۴۸±۲/۵۹	۲۵	L۴
۱۴/۸۸±۲/۹۹	۳۳/۳۲±۷/۱۸	۴۶/۴±۴/۴۰	۲۲/۵۶±۴/۷۰	۱۳/۷۶±۲/۹۳	۲۶/۰۸±۴/۹۳	۲۵/۶۸±۳/۸۰	۲۵	L۵

C: عرض پدیکول در ناحیه ایستموس، D: فاصله عمق تا کورتکس قدامی در محور خط وسط مهره، E: فاصله تا کورتکس قدامی با محور موازی از طریق پدیکول، F: زاویه عرضی پدیکول، G: قطر قدامی-خلفی کانال نخاعی، H: قطر عرضی کانال نخاعی، K: فاصله بین مرکز پدیکول تا مرکز کانال

جدول-۳: اندازه‌های ابعاد مهره‌های در چند مطالعه رفرانس

L۵	L۴	L۳	L۲	L۱	پارامتر	تعداد	نویسندهان
۱۸mm	۱۲/۹mm	۱۰/۳mm	۸/۹mm	۸/۷mm	C	۸۵	Zindric
۲۹/۸°	۱۷/۷°	۱۴/۴°	۱۲°	۱۰/۹°	F	۸۵	Zindric
۳۳/۷	۴۰/۷	۴۴/۴	۴۴/۵	۴۴/۷	E	۸۵	Zindric
۱۶/۴mm	۱۲/۲۵mm	۹/۷mm	—	—	C	۱۲۶	Hou
۲۹°	۱۶°	۱۳°	۸°	۶°	F	۵۱	Olsewski
۴۹/۲mm	۵۵/۳mm	۵۱/۷mm	۴۹/۲mm	۴۵/۸mm	E	۵۱	Olsewski
۲۰/۵mm	۱۵/۵mm	۱۴/۱mm	—	—	C	۱۰۳	Gulech
۱۳/۴۷mm	۱۰/۸۱mm	۸/۴۳mm	۷/۲۶mm	۶/۶۹mm	C	-	Chadha
۲۴/۳۹°	۱۵/۳۹°	۱۲/۲۵°	۱۰/۰۳°	۸/۷۸°	F	-	Chadha
۳۷/۰۶	۳۹/۴۹	۴۰/۷۸	۴۳/۹۶	۴۱/۲۱	D	-	Chadha
۴۹/۴۵	۴۶/۲۷	۴۶/۲۵	۴۹/۰۹	۴۷/۴۹	E	-	Chadha

اصلاح دفرمیته در پلان سازیتال و کرونال، امکان استفاده حتی بعد از دکمپرسن خلفی وسیع و لامینکتومی و افزایش میزان وقوع فیوژن همراه با نتایج بالینی بهتر می‌باشد.^{۳۴} به دلایل فوق استفاده از آن مقبولیت کای یافته^{۳۵} و در حال حاضر همانگونه که ذکر شد استاندارد طلایی برای فیوژن داخلی ستون فقرات استفاده از پیچ پدیکول می‌باشد.^۳ استفاده از وسیله موجب افزایش وقوع عوارض عمل جراحی خواهد گردید^۷ و برای اینکه استabilیته مناسب ایجاد شده و بی خطر باشد بایستی پیچ در محل ایده ال خود یعنی در داخل پدیکول قرار گیرد.^{۲۶} مطالعه بر روی ابعاد و شکل پدیکول از چند نظر حائز اهمیت می‌باشد، دانستن آناتومی صحیح اوریانتاسیون پدیکول^{۱۵} برای به حداقل رساندن عوارض نورولوژیک لازم است. همچنین این بررسی‌ها می‌توانند به درک بهتر مکانیسم حرکت در ستون فقرات (Kinematics) و مکانیسم آسیب

بحث

در بسیاری از بیماری‌ها مانند ضربه‌ها و شکستگی‌های بی‌ثبات ستون فقرات، بیماری‌های دژنراتیو، تومورها و عفونت‌های ستون فقرات ممکن است نیاز به فیوژن ستون فقرات وجود داشته باشد. استفاده از پیچ پدیکول به صورت گسترده به عنوان یک روش جهت وسیله‌گذاری ستون فقرات موردن قبول واقع شده است^{۳۱} و هم‌اکنون به صورت روتین در درمان تعدادی از ضایعات ستون فقرات به کار برده می‌شود.^{۲۲} مزیت استفاده از پیچ پدیکول و راد برای ثابت نمودن ستون فقرات در مقایسه با سایر روش‌های قبلی شناخته شده است، که شامل امکان فیوژن حداقل سگمانهای ممکن، امکان جانداری و استabilیته مناسب است که اجازه به حرکت در آوردن سریع بیمار را بدون ساپورت خارجی میسر می‌سازد.^{۳۳} از مزایای دیگر توانایی

نتایج چهار بعد C و D و E و F چند مطالعه رفانس به طور خلاصه در جدول ۳ لیست نموده ایم. متوسط عرض پدیکول مهره L۱ در مطالعه ما $8/25$ میلی متر (انحراف معیار $\pm 1/79$) و متوسط عرض پدیکول L۱ در مطالعه Chadha^{۲۰} در هندوستان $6/69$ میلی متر (انحراف معیار $\pm 1/55$) بود. این اندازه در مطالعه ما به طور بارزی بالاتر از مطالعه هندی ها بود ($p=0/0002$). اندازه های عرض پدیکول در مهره های L۲ و L۳ و L۴ و L۵ به ترتیب با $p<0/0001$ و $p<0/0001$ و $p<0/0001$ در مطالعه ما بزرگتر از ابعاد مهره های فوق در مطالعه Chadha^{۲۰} بود. مطالعه Zindric^{۲۱} در USA که روی ۸۵ بیمار انجام شد، به طور متوسط اندازه عرض پدیکول در مهره های لومبار $12/9\text{mm}$ و $L_{10}=8/7\text{mm}$ و $L_{11}=8/9\text{mm}$ و $L_{12}=10/3$ و $L_{13}=9/7$ و $L_{14}=15\text{mm}$ بود که تفاوت معنی داری بین ابعاد این مهره ها با ابعاد مطالعه ما وجود نداشت. بجز در مهره L۵ که با $p=0/002$ اندازه مهره L۵ در مطالعه ما کوچکتر از مطالعه فوق بود. در مطالعه Hou^{۱۳} در آرپا که بر روی ۱۲۶ بیمار زن و مرد در مهره های L۳ و L۴ و L۵ کمری انجام شد، متوسط عرض پدیکول به ترتیب $L_{14}=12/25$ و $L_{15}=16/4$ و $L_{16}=14/1$ و $L_{17}=15/5$ بود که نسبت به ابعاد مطالعه ما تفاوت معنی داری بین این مهره ها وجود نداشت. به این ترتیب عرض پدیکول در افراد منطقه ما از هندی ها بزرگ تر و با اروپایی ها و امریکایی ها مساوی و از ترکیه ای ها کوچک تر می باشد. اما ابعاد متوسط عرض پدیکول در $10/3$ بیمار مورد مطالعه Gülek^{۱۶} در ترکیه به طور بارزی با $p=0/0002$ نسبت به مطالعه ما بزرگ تر بود. در $L_{18}=20/5$ و $L_{19}=14/1$ درجه (انحراف معیار $\pm 3/85$) متوسط زاویه پدیکول مهره L۱ در مطالعه ما $16/3$ درجه (انحراف معیار $\pm 3/85$) و در مطالعه Chadha^{۲۰} در هندوستان $8/778$ درجه (انحراف معیار $\pm 0/7$) بود. زاویه پدیکول با $p=0/002$ به طور معنی داری در مطالعه ما از هندیان بالاتر بود. زاویه پدیکول در مهره های L۲ و L۳ و L۴ به ترتیب با $p<0/0001$ و $p<0/0001$ و $p<0/0001$ به طور معنی داری در مطالعه ما بزرگ تر از مطالعه هندی ها بود. ولی در مهره L۵ هر چند در نژاد هندی کمی زاویه پدیکول بزرگ تر از اندازه مطالعه ما بود ولی این اختلاف ارزش آماری معنی دار نداشته است. زاویه پدیکول در مهره L۱ در مطالعه ما به طور بارزی با $p=0/0001$ از اندازه حاصله در مطالعه Zindric^{۲۱} و همکاران^{۲۲} بالاتر بود. (متوسط $16/3$ درجه در برابر $10/9$ درجه) این بزرگی در مورد مهره های L۲ و L۳ و L۴ هم به طور بارزی صدق

ستون فقرات کمک نموده^{۱۵} و اطلاعات مهمی برای سازندگان وسائل ستون فقرات به دست می دهد و راهنمای اساسی برای جراحانی است که از این وسائل استفاده می کنند.^{۱۶} در ناحیه لومبر وجود اطلاعات آناتومیک صحیح برای انجام اقدام جراحی بی خطر ضروری است.^{۲۵} بسیاری از مطالعات انجام شده بر روی مهره های انسان بر روی نمونه های هندی - اروپایی (Caucasians)^{۱۵} و یا نژاد سفید^{۲۰} بوده است و مطالعات اندکی در خصوص جمعیت آسیایی به عمل آمده است.^{۲۰} همچنین اغلب مطالعات بر روی مورفومتری پدیکول بر روی مهره های منفرد و خشک صورت گرفته است^{۲۹} و در بسیاری از این مطالعات تمام ابعاد پدیکول مورد بررسی قرار نگرفته است.^{۱۸} مورفولوژی پدیکول ممکن است از یک جمعیت نسبت به جمعیت دیگر متفاوت باشد^{۱۹} همچنین قطر و زاویه پدیکول از یک ناحیه نسبت به ناحیه دیگر ستون فقرات متفاوت است.^{۱۴} در این مطالعه ما ابعاد پدیکول لومبر را در جمعیت منطقه خود مورد بررسی قرار دادیم. مشخص شده است CT-Scan بهترین وسیله برای ارزیابی رادیولوژیک مورفولوژی پدیکول می باشد و مطالعات مختلف نشان داده است اختلاف آماری قابل توجهی بین داده های CT-Scan و اندازه گیری های مستقیم انجام شده بر روی جسد وجود ندارد.^{۲۰} در بررسی های انجام شده تفاوت هایی در ابعاد مهره در نژادهای مختلف مشاهده شده و همچنین اندازه و شکل پدیکول در نژادهای مختلف با هم فرق داشته است.^{۱۸ و ۲۷} در بررسی Kim^{۲۷} و همکاران^{۲۷} تفاوت آماری قابل توجهی بین قطر عرضی پدیکول کره ای ها با غربی ها وجود داشت، همچنین در بررسی Chadha^{۲۰} و همکاران^{۲۰} تفاوت قبل توجهی بین پدیکول هندی ها و جمعیت سفید وجود داشت. در Cheung^{۲۰} و همکاران^{۲۰} پدیکول آسیایی ها از L۱ تا L۴ زاویه ترانسسورس بیشتری داشتند در حالی که L۵ مشابه با نژاد سفید بود و نتیجه گرفتند تفاوت هایی بین پدیکول لومبر آسیایی ها و نژاد سفید وجود دارد. در بررسی Chen^{۲۸} و همکاران^{۲۸} اگرچه تفاوت هایی بین پدیکول چینی ها و انگلیسی ها مشاهده شد ولی به نظر نویسنده مدارک کافی وجود نداشته است که تایید کننده تفاوت مورفولوژیک عمده بین بین پدیکول لومبر چینی ها و انگلیسی ها باشد. از نظر جنس نیز در تعدادی از بررسی ها تفاوتی بین ابعاد^{۳۰ و ۳۱} و زاویه^{۳۰} پدیکول لومبر در زنان و مردان وجود نداشته است، ولی در بررسی Gülek^{۱۶} و همکاران^{۱۶} تفاوت قابل توجهی بین ابعاد جسم مهره مشاهده شد.

بزرگتر بوده و در سایر مهره‌ها ابعاد مهره‌ای با $p=0.001$ کوچکتر از ابعاد مطالعه فوق بود (جدول ۳). Chord length به طور معنی دار فقط در مهره L۳ با $p=0.0035$ در مطالعه ما بزرگتر از مطالعه Chadha^{۱۰} بود. اندازه D در دو مهره L۱ و L۲ به ترتیب با $p=0.0013$ و $p=0.0014$ در نزد هندی و همچنین در سایر مطالعات به مؤثره Hou^{۱۱} به طور معنی داری در تمامی مهره‌ها از مطالعه ما بالاتر بود. بدین ترتیب طول مسیر پدیکول تا جسم مهره در منطقه ما در مقایسه با امریکایی‌ها در یک مطالعه بزرگتر^{۱۲} و در یک مطالعه دیگر^{۱۳} فقط در L۱ بزرگتر و در سایر مهره‌ها کوچکتر بود و در مقایسه با هندی‌ها^{۱۰} فقط در مهره L۳ طول مسیر پیچ در منطقه ما بزرگتر بود. تفاوت‌هایی بین ابعاد پدیکول در نژادهای مختلف وجود دارد و جهت جلوگیری از آسیب عصبی در حین تعییه پیچ پدیکول، توجه به این تفاوت‌ها ضروری می‌باشد. سپاسگزاری: مطالعه حاضر حاصل طرح تحقیقاتی مصوب دانشگاه علوم پزشکی تبریز بوده و لازم است از تیم تحقیقاتی علوم اعصاب و معاونت محترم پژوهشی نهایت تقدیر و تشکر به عمل آید.

می‌کرد (متوسط ۱۶/۷ درجه در برابر ۱۲ درجه برای L۲ و ۱۹/۹۲ درجه در برابر ۱۴/۴ درجه برای L۳ و ۲۰/۸۶ درجه در برابر ۱۷/۷ درجه در L۴). ولی زاویه پدیکول در مهره L۵ به طور بارزی در مطالعه Zindric^{۱۳} بود. ۲۴/۱۲ درجه در برابر ۲۹/۸ درجه). تفاوت آشکاری در اندازه پدیکول مهره‌های لمبار مورد مطالعه ما و اندازه‌های Młoszewski^{۱۳} در آمریکا وجود داشت. به طور بارزی اندازه زوایای مهره‌های L۱ و L۲ و L۳ و L۴ در مطالعه ما بزرگتر از مطالعه فوق بوده و فقط اندازه زاویه مهره L۵ در مطالعه ما کوچکتر بود. با توجه به مطالعه فوق در منطقه ما زاویه پدیکول در تمام مهره‌های لمبار به جزء L۵ از هندی‌ها و امریکایی‌ها بزرگتر بود بر عکس L۵ در مردم منطقه ما در مقایسه با ساکنان دو کشور دیگر زاویه کوچکتری داشت. Chord length یا طول پدیکول تا جسم مهره (D) در مطالعه ما نسبت به مطالعه Zindric^{۱۳} به طور بارزی در تمامی مهره‌های لمبار مطالعه ما بزرگتر بود اما این ابعاد در مقایسه با Młoszewski^{۱۳} فقط در مورد مهره L۱ با $p=0.001$ در مطالعه ما

References

- Attar A, Ugur HC, Uz A, Tekdemir I, Egemen N, Genc Y. Lumbar pedicle: surgical anatomic evaluation and relationships. *Eur Spine J* 2001;10(1):10-5.
- Jutte PC, Castlein RM. Complications of pedicle screws in lumbar and lumbosacral fusions in 105 consecutive primary operations. *Eur Spine J* 2002;11(6):594-8.
- Söyüncü Y, Yıldırım FB, Sekban H, Ozdemir H, Akyıldız F, Sindel M. Anatomic evaluation and relationship between the lumbar pedicle and adjacent neural structures: an anatomic study. *J Spinal Disord Tech* 2005;18(3):243-6.
- Kantelhardt SR, Larsen J, Bockermann V, Schillinger W, Giese A, Rohde V. Intraosseous ultrasonography to determine the accuracy of drill hole positioning prior to the placement of pedicle screws: an experimental study. *J Neurosurg Spine* 2009;11(6):673-80.
- Krenn MH, Piotrowski WP, Penzkofer R, Augat P. Influence of thread design on pedicle screw fixation. Laboratory investigation. *J Neurosurg Spine* 2008;9(1):90-5.
- Inceoglu S, Kilincer C, Tami A, McLain RF. Cortex of the pedicle of the vertebral arch. Part II: Microstructure. *J Neurosurg Spine* 2007;7(3):347-51.
- Shapiro SA, Snyder W. Spinal instrumentation with a low complication rate. *Surg Neurol* 1997;48(6):566-74.
- Wang JC, Haid RW Jr, Miller JS, Robinson JC. Comparison of CD HORIZON SPIRE spinous process plate stabilization and pedicle screw fixation after anterior lumbar interbody fusion. Invited submission from the Joint Section Meeting On Disorders of the Spine and Peripheral Nerves, March 2005. *J Neurosurg Spine* 2006;4(2):132-6.
- Missori P, Ramieri A, Costanzo G, Peschillo S, Paolini S, Miscusi M, et al. Late vertebral body fracture after lumbar transpedicular fixation. Report of three cases. *J Neurosurg Spine* 2005;3(1):57-60.
- Bozkuş H, Senoğlu M, Baek S, Sawa AG, Ozer AF, Sonntag VK, et al. Dynamic lumbar pedicle screw-rod stabilization: in vitro biomechanical comparison with standard rigid pedicle screw-rod stabilization. *J Neurosurg Spine* 2010;12(2):183-9.
- Frankel BM, D'Agostino S, Wang C. A biomechanical cadaveric analysis of polymethylmethacrylate-augmented pedicle screw fixation. *J Neurosurg Spine* 2007;7(1):47-53.
- Hou S, Hu R, Shi Y. Pedicle morphology of the lower thoracic and lumbar spine in a Chinese population. *Spine (Phila Pa 1976)* 1993;18(13):1850-5.
- Lien SB, Liou NH, Wu SS. Analysis of anatomic morphometry of the pedicles and the safe zone for through-pedicle procedures in the thoracic and lumbar spine. *Eur Spine J* 2007;16(8):1215-22.
- Kadioglu HH, Takci E, Levent A, Arik M, Aydin IH. Measurements of the lumbar pedicles in the Eastern Anatolian population. *Surg Radiol Anat* 2003;25(2):120-6.
- Tan SH, Teo EC, Chua HC. Quantitative three-dimensional anatomy of lumbar vertebrae in Singaporean Asians. *Eur Spine J* 2002;11(2):152-8.
- Gülek B, Durgun B, Özer H, Alparslan N, Sarbel T, Erken E: Ct-based morphometric data of L3-L5 vertebrae: anatomic and surgical approach. *Neurosurg Q* 2007;17:92-7.
- Zhou SH, McCarthy ID, McGregor AH, Coombs RR, Hughes SP. Geometrical dimensions of the lower lumbar vertebrae--analysis of data from digitised CT images. *Eur Spine J* 2000;9(3):242-8.
- Mitra SR, Dahir SP, Jadhav SO. Morphometric study of the lumbar pedicle in the Indian population as related to pedicular screw fixation. *Spine (Phila Pa 1976)* 2002;27(5):453-9.
- Singel T, Patel M, Gohil D. A study of width and height of lumbar pedicle in saurashtra region. *J Anat Soc India* 2004;53(1):4-9.
- Chadha M, Balain B, Maini L, Dhaon BK. Pedicle morphology of the lower thoracic, lumbar, and S1 vertebrae: an Indian perspective. *Spine (Phila Pa 1976)* 2003;28(8):744-9.

21. Meter JJ, Polly DW Jr, Miller DW, Popovic NA, Ondra SL. A method for radiographic evaluation of pedicle screw violation of the vertebral endplate. Technique. *Spine (Phila Pa 1976)* 1996;21(13):1587-92.
22. Johnson JN, Wang MY. Stress fracture of the lumbar pedicle bilaterally: surgical repair using a percutaneous minimally invasive technique. *J Neurosurg Spine* 2009;11(6):724-8.
23. Pihlajamaki H, Myllynen P, Böstman O. Complications of transpedicular lumbosacral fixation for non-traumatic disorders. *J Bone Joint Surg Br* 1997;79(2):183-9.
24. Robertson PA, Novotny JE, Grobler LJ, Agbai JU. Reliability of axial landmarks for pedicle screw placement in the lower lumbar spine. *Spine (Phila Pa 1976)* 1998;23(1):60-6.
25. Attar A, Ugur HC, Uz A, Tekdemir I, Egemen N, Genc Y. Lumbar pedicle: surgical anatomic evaluation and relationships. *Eur Spine J* 2001;10(1):10-5.
26. Assaker R, Reynolds N, Vinchon M, Demondion X, Louis E. Transpedicular screw placement: image-guided versus lateral-view fluoroscopy: in vitro simulation. *Spine (Phila Pa 1976)* 2001;26(19):2160-4.
27. Kim NH, Lee HM, Chung IH, Kim HJ, Kim SJ. Morphometric study of the pedicles of thoracic and lumbar vertebrae in Koreans. *Spine (Phila Pa 1976)* 1994;19(12):1390-4.
28. Chen IH, Hou CH, Huang CI, Lee LS. Measurement of Chinese lumbar pedicles: with special reference to transpedicular screw fixation. *Zhonghua Yi Xue Za Zhi (Taipei)* 1994;53(6):351-6.
29. Chaynes P, Sol JC, Vaysse P, Bécue J, Lagarrigue J. Vertebral pedicle anatomy in relation to pedicle screw fixation: a cadaver study. *Surg Radiol Anat* 2001;23(2):85-90.
30. Cheung KM, Ruan D, Chan FL, Fang D. Computed tomographic osteometry of Asian lumbar pedicles. *Spine (Phila Pa 1976)* 1994;19(13):1495-8.
31. Ebraheim NA, Rollins JR Jr, Xu R, Yeasting RA. Projection of the lumbar pedicle and its morphometric analysis. *Spine (Phila Pa 1976)* 1996;21(11):1296-300.
32. Zindrick MR, Wiltse LL, Widell EH, Thomas JC, Holland WR, Field BT, et al. A biomechanical study of intrapedicular screw fixation in the lumbosacral spine. *Clin Orthop Relat Res* 1986;(203):99-112.
33. Olsewski JM, Simmons EH, Kallen FC, Mendel FC, Severin CM, Berens DL. Morphometry of the lumbar spine: anatomical perspectives related to transpedicular fixation. *J Bone Joint Surg Am* 1990;72(4):541-9.

Radilogic evaluation of pedicle lumbar and spinal canal dimensions in north-west of Iran using computed tomography

Iraj Lotfinia M.D.^{1*}
Mostafa Gavami M.D.²
Kaveh Haddadi M.D.¹
Payman Vahedi M.D.¹

1- Department of Neurosurgery
2- Department of Radiology

Tabriz University of Medical Sciences.

Abstract

Received: December 16, 2010 Accepted: February 05, 2010

Background: Pedicular screws are currently the gold standard of internal fixation of spinal column. Pedicular screws have their own complications, however the surgeon should be aware of morphometry of pedicles, as well as the anatomy of surrounding neural structures to minimize these risks. No national study has ever examined the physical characteristics of lumbar pedicles and this study is unique for this purpose.

Methods: This study covers the patients undergoing lumbar spinal CT-scanning due to variable causes. 25 vertebrae were selected in either gender, 18 years or older and E-Film computer software was employed to measure different diameters of pedicle and the results were analyzed with $p \leq 0.05$ regarded as significant.

Results: L5 pedicle was the widest (16.8 mm), while L1 was the narrowest (8.25 mm). this figure was 8.82, 10.48 and 12.86 mm for L2, L3, L4 respectively. Longitudinal depth of pedicle was 47.98, 48.68, 50.42, 48.32 and 47.8 mm for L1, L2, L3, L4, L5 respectively. Statistically significant differences were found between some dimensions detected in our study and similar studies.

Conclusions: The advantages of pedicular screws and rods to stabilize spinal column are well known. To avoid neurological complications, an understanding of anatomy and pedicle orientation is mandatory. The shape and diameters of pedicles are different base on races. Some differences were found in our study regarding pedicle dimensions.

Keywords: Lumbar pedicle, dimension, computed tomography.

*Corresponding author: Department of Neurosurgery, Shohada Hospital, Faculty of Medicine, Tabriz University of Medical Sciences, Iran.
Tel: +98-411-3853171
email: lotfiniai@yahoo.com